

# یک روش ترکیبی برای بهبود پنهان‌نگاری در تصاویر با استفاده از روش‌های فرا ابتکاری



لادن ریازی<sup>۱</sup>، علیرضا پورابراهیمی<sup>۲\*</sup>، محمود البرزی<sup>۳</sup> و رضا رادفر<sup>۴</sup>  
<sup>۱</sup> دانشکده مدیریت و اقتصاد، واحد علوم و تحقیقات، دانشگاه آزاد اسلامی، تهران، ایران  
<sup>۲</sup> دانشکده مدیریت، واحد کرج، دانشگاه آزاد اسلامی، کرج، ایران

## چکیده

در این مقاله روشی برای بهبود عملیات پنهان‌نگاری و بالابردن امنیت، با استفاده از ترکیب الگوریتم‌های فراابتکاری ارائه شده است. هدف، دست‌یابی به مقدار بهبود یافته PSNR است؛ به گونه‌ای که کیفیت تصویر در فرایند پنهان‌نگاری حفظ شود. در این روش ابتدا هفت الگوریتم فراابتکاری متداول در این حوزه، از جمله بهینه‌سازی کلونی مورچه، زنبور عسل، جستجوی فاخته، ژنتیک، حرکت ذرات، تبرید شبیه‌سازی شده، کرم شب‌تاب انتخاب و کارایی الگوریتم‌های یادشده پس از اعمال به صورت انفرادی بر روی داده‌های موجود مورد ارزیابی قرار می‌گیرد. از میان الگوریتم‌های اعمال شده، سه الگوریتم جستجوی فاخته، کرم شب‌تاب، زنبور عسل که دارای بهترین مقدار تابع برازش و در نتیجه بالاترین کیفیت هستند، انتخاب شدند. تمامی شش حالت مختلف از ترکیب این سه الگوریتم به طور مجزا بررسی شد. بهترین ترکیب به کاررفته به ترتیب، الگوریتم‌های کرم شب‌تاب، زنبور عسل و جستجوی فاخته است که این ترکیب، میانگین نسبت سیگنال به نوفه برابر ۵۴/۸۹ را فراهم کرده است. ترکیب یادشده در مقایسه با الگوریتم‌های انفرادی بررسی شده بهینه‌سازی کلونی مورچه، زنبور عسل، جستجوی فاخته، ژنتیک، حرکت ذرات، تبرید شبیه‌سازی شده، کرم شب‌تاب، به ترتیب به میزان ۵۹/۲۹، ۲۹/۶۱، ۳۷/۴۳، ۵۲/۵۶، ۵۴/۸۴، ۵۷/۸۲ و ۳/۸۲ درصد بهبود در مقدار PSNR را ارائه می‌کند.

واژگان کلیدی: پنهان‌نگاری، الگوریتم‌های فرا ابتکاری، الگوریتم کرم شب‌تاب، الگوریتم زنبور عسل، الگوریتم جستجوی فاخته.

## A hybrid method to improve Steganography in JPEG images using metaheuristic algorithms

Ladan Riazi<sup>1</sup>, Alireza Pourebrahimi<sup>2\*</sup>, Mahmood Alborzi<sup>3</sup> & Reza Radfar<sup>4</sup>

<sup>1,3,4</sup> faculty of economics and management, science and Research Branch, Islamic Azad University, Tehran, Iran

<sup>2</sup> faculty of management, Karaj Branch, Islamic Azad University, Karaj, Iran

### Abstract

This paper presents a method for improving steganography and enhancing the security using combinatorial Meta-heuristic algorithms. The goal is to achieve an improved PSNR value in order to preserve the image quality in the steganography process.

Steganography algorithms, in order to insert message signal information inside the host data, create small changes based on the message signal in the host data, so that they are not visible to the human eye. Each cryptographic algorithm has two steps: insert a stego signal and extract it. You can use the area of the spatial or transformation area to insert the stego signal. Extraction can be done using the correlation with the original watermark or independently of it. Clearly, the choice of insertion method and how to extract are interdependent. In spatial techniques, information is stored directly in pixel color intensity but in the transform domain, the image is initially converted to another domain (such as frequency), and then the

\* Corresponding author

\* نویسنده عهده‌دار مکاتبات

information is embedded in the conversion coefficients. Using optimization algorithms based on Metahuristic algorithms in this field is widely used and many researchers have been encouraged to use it. Using a suitable fitness function, these methods are useful in the design of steganography algorithms.

In this research, seven commonly used Metahuristic algorithms, including ant colony, bee, cuckoo search, genetics, Particle Swarm Optimization, Simulated Annealing and firefly were selected and the performance of these algorithms is evaluated individually on existing data after being applied individually.

Among the applied algorithms, cuckoo search, firefly and bee algorithms that have the best fitness function and therefore the highest quality were selected. All 6 different modes of combining these 3 algorithms were separately examined. The best combination is the firefly, bee and cuckoo search algorithms, which provides a mean signal-to-noise ratio of 54.89.

The proposed combination compared to the individual algorithms of optimization of ant colony, bee, cuckoo search, genetics, Particle Swarm Optimization, Simulated Annealing and firefly, provides 59.29, 29.61, 37.43, 52.56, 54.84, 57.82, and 3.82% improvement in the PSNR value.

**Keywords:** steganography, Metahuristic algorithms, firefly algorithm, bee algorithm, cuckoo search algorithms.

رنگ پیکسل‌ها ذخیره می‌شوند؛ ولی در حوزه تبدیل ابتدا تصویر به حوزه دیگری (مانند فرکانس) منتقل شده و سپس اطلاعات در ضرایب تبدیل جاسازی می‌شود. الگوریتم‌های پنهان‌نگاری، به‌منظور درج اطلاعات سیگنال پیام در داخل داده میزبان، تغییرات کوچکی را بر اساس سیگنال پیام در داده میزبان، ایجاد می‌کنند؛ به‌نحوی که با چشم انسان قابل مشاهده نباشد. واضح است که با افزایش داده‌های جاسازی‌شده در یک تصویر، احتمال مشکوک‌شدن تحلیل‌گر به وجود پیام پنهان در تصویر مورد نظر بیشتر می‌شود و لذا، امنیت پیام پنهان‌شده مورد نظر، به خطر می‌افتد، لذا در این مقاله، روشی ارائه شده که با حفظ کیفیت تصویر پنهان‌نگاری‌شده، امنیت ارتقا یابد [1].

## ۲- مروری بر پژوهش‌های مرتبط

تا کنون پژوهش‌های زیادی در زمینه پنهان‌نگاری تصویر انجام شده است. در مرحله درج، داده‌های پنهان‌نگاری درون تصویر میزبان قرار داده می‌شوند. برای این کار داده‌ها می‌توانند در حوزه مکان یا در حوزه تبدیل در تصویر قرار داده شوند. قراردادن داده در حوزه مکان یک روش ساده با هزینه محاسباتی بسیار کم ولی دارای مقاومت ناچیزی در برابر فشرده‌سازی تصویر است. در زمان استفاده از حوزه تبدیل، ابتدا بر روی تصویر میزبان یک تبدیل مانند تبدیل موجک<sup>۳</sup>، کسینوس یا فوریه<sup>۴</sup> اعمال می‌شود، سپس زیرمجموعه‌ای از ضرایب تبدیل انتخاب و بر اساس داده‌های پیام، ضرایب طوری تغییر داده می‌شوند که در برگیرنده پنهان‌نگاری شوند [5]. در پژوهش‌های اخیر پنهان‌نگاری، تأکید بر استفاده از تبدیل موجک است؛ بعد از این مرحله،

## ۱- مقدمه

یکی از موضوعات مهم در مبادله پیام‌های محرمانه اینترنتی مسأله امنیت تبادل اطلاعات است. پنهان‌نگاری (استگانوگرافی)<sup>۱</sup> یکی از شاخه‌های علم مخفی‌سازی اطلاعات است که به‌دنبال رسیدن به یک سطح امنیتی مطلوب در تبادل اطلاعات محرمانه تجاری و نظامی است؛ به‌نحوی که تبادل فایل‌هایی حامل اطلاعات محرمانه، برای دیگران محسوس و مشخص نباشد. این روش‌ها می‌تواند به‌عنوان مکمل روش‌های رمزنگاری در مبادله اطلاعات محرمانه استفاده شود [2]. استگانوگرافی از لغت یونانی استگانوس (پوشاندن) و گرافتوس (نوشتن) گرفته شده و درواقع استگانوگرافی دانشی است برای پنهان‌کردن داده یا فایلی در فایل دیگر، به‌طوری که فقط افراد آگاه با ابزار لازم بتوانند به آن دست یابند. زمانی که پیغامی به‌وسیله پنهان‌نگاری در یک فایل میزبان پنهان می‌شود، در صورتی که شخصی بداند نحوه ذخیره‌سازی اطلاعات در این فایل چگونه بوده و نوع الگوریتم مورد استفاده جهت پنهان‌نگاری را نیز بداند، آنگاه او قادر خواهد بود اطلاعات را بخواند. مخفی‌کردن یک اطلاعات می‌تواند در لابه‌لای قالب‌های مختلفی از اطلاعات مانند متن، صوت، تصویر و شبکه باشد [3].

هر الگوریتم پنهان‌نگاری دو مرحله دارد: درج سیگنال پنهان‌نگاره<sup>۲</sup> در تصویر و استخراج آن. برای درج سیگنال پنهان‌نگاره می‌توان از حوزه مکان یا حوزه تبدیل استفاده کرد. استخراج آن می‌تواند با استفاده از همبستگی با پنهان‌نگاره اصلی و یا مستقل از آن صورت گیرد. واضح است، انتخاب روش درج و نحوه استخراج پنهان‌نگاره به هم وابسته‌اند [4]. در روش‌های حوزه مکان اطلاعات به‌طورمستقیم در شدت

<sup>3</sup> Wavelet

<sup>4</sup> Fourier transform

<sup>1</sup> Steganography

<sup>2</sup> Watermark

در پژوهش [9] روش  $LSB^2$  به‌عنوان روش پایه در نظر گرفته شده و جهت بهبود کیفیت و امنیت تصویر، تصویر پوششی به  $n$  بلاک  $8 \times 8$  پیکسلی تقسیم و پیام محرمانه نیز به  $n$  بخش تقسیم، سپس از الگوریتم  $PSO^3$  جهت یافتن ماتریس جایگزینی بهینه برای جایگزینی پیام محرمانه در هر بلاک به جای کل تصویر استفاده می‌شود.

در مطالعه [10] ترکیب دو الگوریتم فراابتکاری  $PSO$  و  $SA$  مطالعه شده است. روش انجام کار بدین صورت است که در ابتدا الگوریتم  $PSO$  به داده‌ها اعمال شده و بهترین نتیجه به‌دست‌آمده از این الگوریتم به‌عنوان پاسخ اولیه در  $SA$  مورد استفاده قرار گرفته است؛ بنابراین پاسخ همسایه تولیدشده در  $SA$  بر مبنای پاسخ به‌دست‌آمده در الگوریتم  $PSO$  است. نویسنده مقاله ادعا می‌کند که این روش نه تنها موجب بهبود کیفیت تصاویر می‌شود، بلکه امنیت اطلاعات کدشده را نیز به‌خوبی تضمین می‌کند.

در مطالعه [11] از الگوریتم  $ACO$  جهت پنهان‌کردن داده‌ها در پیکسل‌های لبه‌ای تصویر استفاده شده است. در پژوهشی دیگر [12] ابتدا تصاویر به بلوک‌هایی تقسیم، سپس الگوریتم  $ACO$  به‌صورت جداگانه بر روی هر بلوک از تصویر اعمال می‌شود. در مطالعه [13] روشی جهت پنهان‌کردن داده‌ها در حوزه فرکانس با استفاده از الگوریتم ژنتیک ( $GA$ ) ارائه شده و پژوهش‌گر توانسته با روش پیشنهادی موجب بهبود میزان  $PSNR$  در تصاویر پنهان‌نگاری و در نتیجه بهبود کیفیت تصاویر شود.

(جدول-1): فهرست الگوریتم‌های فراابتکاری به‌کاررفته در

پنهان‌نگاری تصاویر

(Table-1): The list of algorithms used in the image steganography

مرجع	مخفف	نام الگوریتم
[14]	$ACO^4$	بهینه‌سازی کلونی مورچه
[15] و [16]	$BA^5$	الگوریتم زنبور عسل
[17]	$CS^6$	الگوریتم جستجوی فاخته
[18] و [19] و [20]	$GA^7$	الگوریتم ژنتیک
[21] و [22] و [30]	$PSO^8$	الگوریتم بهینه‌سازی حرکت ذرات
[23]	$SA^9$	تبرید شبیه‌سازی شده
[24]	$FA^{10}$	الگوریتم بهینه‌سازی کرم شب‌تاب

<sup>2</sup> least significant bit

<sup>3</sup> Particle swarm optimization

<sup>4</sup> Ant Colony Optimization

<sup>5</sup> Bee Algorithm

<sup>6</sup> Cuckoo Search Algorithm

<sup>7</sup> Genetic Algorithm

<sup>8</sup> Particle Swarm Optimization

<sup>9</sup> Simulated Annealing

<sup>10</sup> Firefly Algorithm

تصویر پنهان‌نگاری شده آماده انتشار خواهد بود. مراحل بعدی فرایند پنهان‌نگاری در سمت گیرنده انجام می‌گیرد. در گیرنده، از تصویر پنهان‌نگاری شده که تحت تأثیر حملات و تغییرات عمدی و غیرعمدی در زمان انتشار قرار گرفته است، داده‌های پنهان‌نگاری شده استخراج می‌شوند.

در [3] الگوریتمی برای درج سیگنال پنهان‌نگاره در یک تصویر خاکستری، به روش طیف گسترده در حوزه تبدیل گسسته کسینوسی ارائه شده و تصویر پنهان‌نگاری شده در برابر حملات عمدی و غیر عمدی، به‌ویژه در برابر فشرده‌سازی  $JPEG$  مقاوم شده است. در پژوهشی دیگر [6] تبدیل گسسته کسینوسی بر روی بلوک‌های  $8 \times 8$  تصویر انجام می‌شود. در هر بلوک، مهم‌ترین ضریب  $AC$  در جدول برای درج هر ضریبی از سیگنال طیف گسترده پنهان‌نگاره، انتخاب شده است.

کارهایی نیز با استفاده از تبدیل موجک انجام شده است که در این روش‌ها ابتدا تبدیل موجک تصویر به‌دست می‌آید و پس از به‌دست‌آوردن ضرایب موجک، اطلاعات موردنظر در آن جاسازی شده است. به‌عنوان مثال در یکی از کارهای صورت‌گرفته، پنهان‌نگاری براساس چندی‌سازی<sup>1</sup> ضرایب فرکانس پایین تبدیل موجک بنا شده و از الگوهای تکرارشونده موجود در نماد پنهان‌شده در استخراج آن بهره می‌برد [7]. در پژوهشی دیگری در این زمینه، پنهان‌نگاری با استفاده از تبدیل موجک افزونه انجام می‌شود. در این روش سیگنال پنهان‌نگاره در بخش فرکانس پایین تصویر میزبان پنهان می‌شود. این روش دارای مقاومت بالایی است و پنهان‌نگاره را می‌توان با خطای کمی از تصویر استخراج کرد. در ابتدا از ضرایب تبدیل موجک مختلط تصویر برای محاسبه یک ماسک دیداری استفاده شده و سپس با استفاده از این ماسک پنهان‌نگاره‌ای که به خصوصیات تصویر وابسته باشد، تولید می‌شود. برای پنهان‌سازی پنهان‌نگاره نیز از ضرایب تبدیل موجک مختلط سطح سوم استفاده شده است [5].

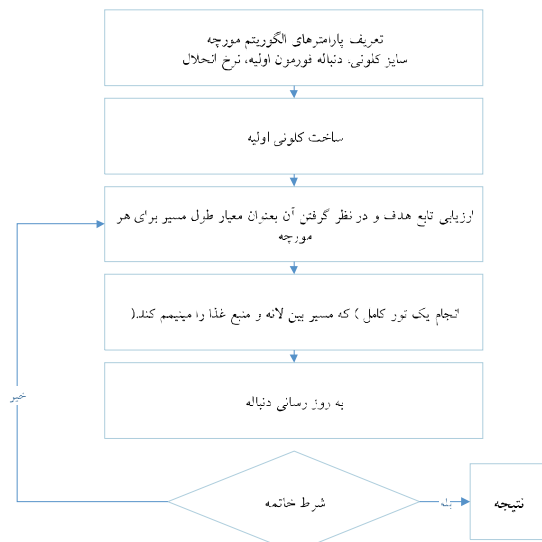
روش سنتی تشخیص کور تصویر  $JPEG$  پنهان‌نگاری شده از یک ویژگی یا درنهایت تلفیق دو ویژگی استفاده می‌کند. مطالعه [8] به چگونگی انتخاب یک ترکیبی از ویژگی‌های برتر برای دست‌یابی به تشخیص بهتر پرداخته است. این مطالعه با بهره‌گیری از ایده درختان هافمن و محاسبه ضریب همبستگی به انتخاب ویژگی‌ها پرداخته است. به‌طوری‌که در هر بار به ترکیب دو ویژگی که کمترین ضریب همبستگی را دارند، می‌پردازد.

<sup>1</sup> quantization

## ۳-۲- الگوریتم بهینه‌سازی کلونی مورچه

### (ACO) در پنهان‌نگاری تصاویر

طرح کلی از الگوریتم ACO عمومی در شکل (۱) ارائه شده است. مراحل زیر نحوه اجرای این الگوریتم فراابتکاری را در طرح پنهان‌نگاری تصاویر نشان می‌دهد [29].



(شکل-۱): شمای الگوریتم کلونی مورچه  
(Figure-1): An Ant Colony Algorithm Schema

مرحله ۱: تعیین اندازه کلونی، دنباله فرمون اولیه، نرخ انحلال ( $\sigma$ )، تابع هدف، و تعداد نسل‌ها به‌عنوان معیار توقف الگوریتم.

مرحله ۲: تولید تصادفی یک جمعیت اولیه از مورچه‌ها، که مجموعه‌ای از راه‌حل‌های بالقوه را تشکیل می‌دهند. هر مورچه به‌صورت  $X = \{x_1, x_2, \dots, x_n\}$  نشان داده می‌شود. فرمول زیر نحوه تولید جمعیت اولیه را نشان می‌دهد.

$$f_{pheromone}(x_i) = e^{-\frac{(x_i - x_i^*)^2}{2\sigma_i^2}} \quad (3)$$

که در آن است که  $x_i^*$  برابر با  $\lambda$  امین مختصات بهترین نقطه پیدا شده در بهینه‌سازی در فضای طراحی تکرار فعلی است. پارامتر  $\sigma_i$  شاخص تجمع مورچه‌ها برای مختصات  $i$  ام از فضای طراحی است. در تکرار نخست،  $x_i^*$  بر اساس یک توزیع یک‌نواخت در نظر گرفته می‌شود. همچنین  $\sigma_i$  دست‌کم سه برابر بزرگ‌تر از طول فاصله جستجو انتخاب می‌شود.

مرحله ۳: برای هر مورچه  $X$  از جمعیت:

تولید تصویر پنهان‌نگاری شده  $IW$  با استفاده از فرایند تعبیه‌سازی انجام شود.

استفاده از الگوریتم‌های بهینه‌سازی مبتنی بر الگوریتم‌های فرا ابتکاری و الگوریتم‌های مبتنی بر محاسبات زیستی در این حوزه متداول بوده و پژوهش‌گران زیادی را به استفاده از آن ترغیب کرده است. با استفاده از یک تابع برازش<sup>۱</sup> مناسب، این روش‌ها در طراحی الگوریتم‌های پنهان‌نگاری مفید هستند. جدول (۱) فهرست الگوریتم‌هایی است که در این حوزه به‌کار رفته‌اند.

## ۳- روش استفاده‌شده در این پژوهش

مراحل انجام روش به‌کاررفته در این پژوهش، به این قرار است که چندین الگوریتم فراابتکاری متداول در پنهان‌نگاری تصاویر بر اساس مراجع یادشده در بخش قبل، مورد استفاده قرار می‌گیرند. ابتدا این الگوریتم‌های معرفی‌شده به‌تنهایی بر روی داده‌های موجود اعمال و پس از آن الگوریتم‌ها با توجه به بهترین PSNR به‌دست‌آمده مرتب می‌شوند. از میان الگوریتم‌های اعمال‌شده، سه الگوریتمی که نتیجه بهتری را داشته باشند، برای استفاده در مرحله بعد انتخاب می‌شوند. شش حالت مختلف از ترکیب این سه الگوریتم به‌طور مجزا بررسی و نتیجه نهایی ثبت می‌شود و ترکیبی که بهترین نتیجه را حاصل کند، انتخاب می‌شود. در ادامه جزئیات مربوط به ترکیب الگوریتم‌ها را شرح خواهیم داد.

### ۳-۱- تابع برازش به‌کار رفته

از آنجایی که در مسایل مربوط به پردازش تصویر پارامترهای  $PSNR^2$  و  $MSE^3$  برای ارزیابی کیفیت تصویر به‌کار می‌روند، در این پژوهش مقدار  $PSNR$  به‌عنوان تابع برازش مورد استفاده قرار می‌گیرد. درواقع هر چه میزان  $PSNR$  بیشتر باشد، نشان‌دهنده این است که بازسازی تصویر بهتر صورت گرفته و کیفیت تصویر بالاتر است و در نتیجه امنیت پنهان‌نگاری بهتر حفظ خواهد شد.

$$PSNR = 10 * \log_{10}(255^2 / MSE) \quad (1)$$

$$MSE = \frac{1}{W*H} \sum_{i=1}^W \sum_{j=1}^H (s_{ij} - c_{ij})^2 \quad (2)$$

$s_{ij}$  و  $c_{ij}$  شدت پیکسل  $ij$  در تصویر پوششی<sup>۴</sup> و تصویر به‌دست آمده<sup>۵</sup> است.  $H$  و  $W$  تعداد پیکسل‌های موجود در طول و عرض تصویر اولیه است.

<sup>1</sup> Fitness function

<sup>2</sup> peak signal to noise rate

<sup>3</sup> mean square error

<sup>4</sup> Cover Image

<sup>5</sup> stego-image

که در آن  $rand(0.1)$  یک عدد تصادفی با توزیع نرمال بین صفر و یک است.

$$X_{ij} = x_{min,j} + rand(0.1) * (x_{max,j} - x_{min,j}) \quad (6)$$

در الگوریتم ABC، هر چرخه از جستجو از منابع غذایی جدید شامل سه مرحله است که در اینجا یک‌به‌یک مورد بحث قرار می‌دهیم:

زنبور عسل شاغل: زنبور به کار تولید یک راه حل جدید بسته به اطلاعات محلی پرداخته و مقایسه تناسب راه حل جدید را با راه حل قبلی آن انجام می‌دهد. اگر مقدار تناسب راه حل جدید بالاتر از راه حل فعلی آن باشد، راه حل جدید جایگزین راه حل قبلی می‌شود. در غیر این صورت با راه حل فعلی به کار خود به‌منظور تولید یک راه حل جدید ادامه خواهد داد. اگر راه حل جدید را با  $y_i = (y_{i,1}, \dots, y_{i,D})$  نشان داده و راه حل قبلی را با  $x_i = (x_{i,1}, \dots, x_{i,D})$  نشان دهیم، الگوریتم بهینه‌سازی مورچه بدین صورت عمل می‌کند:

$$y_{ij} = x_{ij} + \varphi_{ij} * (x_{ij} - x_{kj}) \quad (7)$$

که در آن  $k \in \{1, 2, \dots, SN\}$ ،  $j \in \{1, 2, \dots, D\}$  بوده و به‌صورت تصادفی انتخاب می‌شود؛ به‌طوری که شاخص  $k$  از  $i$  متفاوت باشد.  $\varphi_{ij}$  یک پارامتر تصادفی بین  $-1$  و  $1$  است که تولید راه‌حل‌های جدید در همسایگی  $x_{ij}$  را انجام داده و نشان‌دهنده مقایسه بین دو موقعیت غذا مشاهده‌شده توسط یک زنبور عسل را نشان می‌دهند.

زنبور عسل ناظر: زنبورهای شاغل به اشتراک‌گذاری مقدار تابع برازش از منابع غذایی و اطلاعات موقعیت خود با زنبور عسل ناظر می‌پردازند. زنبور ناظر اطلاعات شهید گرفته‌شده را از تمام زنبورهای کارگر ارزیابی کرده و یک منبع غذایی را با در نظر گرفتن احتمال مربوط به مقدار تابع برازش آن انتخاب می‌کند.

بدین ترتیب مقدار شهید از ماده غذایی افزایش می‌یابد و احتمال انتخاب آن منبع غذایی توسط سایر زنبورها نیز افزایش می‌یابد. پس از رسیدن به منطقه انتخاب شده، زنبور ناظر به انتخاب یکی دیگر از منابع غذایی در نزدیکی اطلاعات دریافتی ذخیره‌شده پرداخته و در صورت بهتر بودن تابع برازش مقدار آن را جایگزین مقدار قبلی می‌کند. انتخاب یک منبع غذایی بر اساس احتمال  $P_i$  و به‌صورت زیر محاسبه می‌شود:

$$P_i = \frac{fit_i}{\sum_{i=1}^{SN} fit_i} \quad (8)$$

• محاسبه همبستگی نرمال بین تصویر اصلی و تصویر

پنهان‌نگاری شده:  $NC(I, IW)$

اعمال یک حمله شناسایی اطلاعات پنهان‌نگاری شده از مجموع  $T$  حمله انتخاب‌شده به تصویر  $I, IW$ . این امر منجر به  $T$  تصاویر پنهان‌نگاری حمله شده متفاوت برای هر تصویر پنهان‌نگاری شده اصلی  $I, W$  است. این تصاویر حمله‌شده را با  $\{I'_w\}$  می‌شناسیم.

استخراج داده‌های پنهان‌نگاری شده از تصاویر مورد حمله واقع شده  $I'_w$  با استفاده از فرایند استخراج.

• محاسبه ضریب همبستگی نرمال بین اطلاعات پنهان‌شده اصلی  $W$  و مجموعه‌ای از اطلاعات استخراج شده.

• ساخت بردار ارزش‌های هدف،  $F(X)$  که به‌صورت زیر تعریف می‌شود:

$$F(X) = \left( \frac{1}{NC(I, IW)} \cdot \frac{1}{NC(W, W')} \cdot \frac{1}{NC(I, W'_1)} \cdot \dots \cdot \frac{1}{NC(I, W'_T)} \right) \quad (4)$$

• ارزیابی بردار ارزش‌های هدف و شناسایی بهترین مسیر مرحله ۴: انتخاب بهترین مورچه به‌عنوان مورچه‌ای که کمترین مقدار را در تابع  $F(X)$  دارد.

مرحله ۵: به‌روزرسانی دنباله فرومون. این مرحله شاخص تجمع برای  $\sigma_i$  بعد  $\lambda$ ام برابر است با:

$$\sigma_i = \sqrt{\frac{1}{m} \sum_{i=1}^m y_i - y'} \quad (5)$$

که در آن  $y$  برابر با  $\lambda$ امین ستون از ماتریس کلونی  $C$  است.  $y'$  مقدار میانگین بردار  $y$  و  $m$  برابر با اندازه کلونی است.

مرحله ۶: ذخیره مقدار  $X_{best}$  در این نسل و نسل قبلی.  
مرحله ۷: اگر شرط خاتمه (تعداد جمعیت) ارضا شده باشد، الگوریتم خاتمه می‌یابد؛ در غیر این صورت یک نسل جدید ایجاد شده و به مرحله ۳ باز می‌گردد.

### ۳-۳- الگوریتم بهینه‌سازی زنبور عسل ( $ABC^1$ ) در پنهان‌نگاری تصاویر

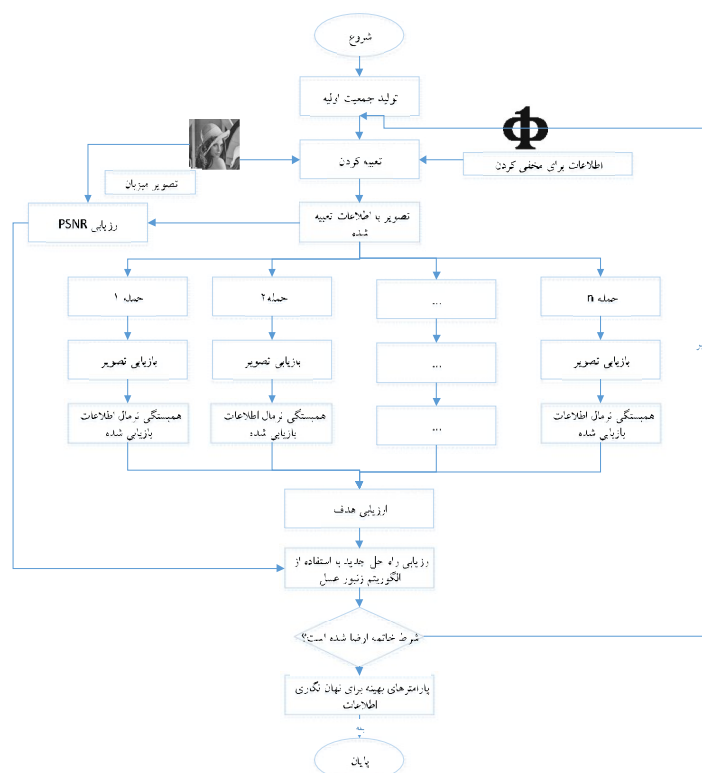
در الگوریتم بهینه‌سازی زنبور، درحالی‌که زنبورهای ناظر و کارگر به انجام فرایند بهره‌برداری در فضای جستجو مشغول هستند، پیشاهنگان کنترل فرایند اکتشاف را در دست دارند. در مرحله نخست، مجموعه‌ای از منابع غذایی به‌طور تصادفی بین  $X_{min} = (x_{min,1}, \dots, x_{min,D})$  و  $X_{max} = (x_{max,1}, \dots, x_{max,D})$  به‌صورت معادله زیر حساب می‌شود؛

<sup>1</sup> Artificial bee colony

که در آن تابع برازش  $fit_i$  تابع هدف اندازه‌گیری شده در  $i$  امین موقعیت غذایی است.

$$fit_i = \begin{cases} \frac{1}{f(X_i)} & \text{if } f(X_i) \geq 0 \\ 1 + abs(f(X_i)) & \text{elsewhere} \end{cases} \quad (9)$$

که در آن تابع برازش  $i$  امین راه حل در فضای مسأله است. SN برابر با تعداد راه‌حل‌ها یا برابر با تعداد زنبورهای کارگر است.  $fit_i$  به صورت زیر محاسبه می‌شود که در آن



(شکل-۲): پنهان‌نگاری تصویر با استفاده از الگوریتم جستجوی فاخته  
(Figure-2): Image steganography using the Cuckoo search algorithm

### ۳-۵- الگوریتم ژنتیک ( $GA^2$ ) در پنهان‌نگاری تصاویر

برای استفاده از الگوریتم ژنتیک لازم است تا ابتدا ماتریس جایگزینی<sup>۳</sup> به فرمت قابل فهم برای الگوریتم تبدیل شود. این فرمت یک بردار  $G$  از ژن‌هاست. هر درایه این آرایه با سطر مشابه در ماتریس جایگزینی متناظر است. برای مثال درایه شماره صفر با سطر شماره صفر متناظر است. مقادیر داخل خانه‌های آرایه حاوی اندیس ستون‌های استفاده‌شده در ماتریس است. به این صورت که عدد یک تنها در یکی از خانه‌های هر سطر وجود دارد [27] و [31].

گام‌های مورد استفاده در الگوریتم ژنتیک به شرح زیر است:

۱. ساخت جمعیت اولیه که با روش‌های مختلفی همچون الگوریتم اکتشافی و غیره ایجاد می‌شود.

### ۳-۴- الگوریتم جستجوی فاخته ( $CSA^1$ ) در پنهان‌نگاری تصاویر

مقداردهی جمعیت اولیه توسط مولد عدد تصادفی بین یک و پنجاه انجام می‌شود. اطلاعات موجود برای تعبیه‌سازی در فاکتور مقیاس‌پذیری ضرب و در بلوک مربوطه از تصویر میزبان تعبیه می‌شود. نحوه اجرای جستجوی فاخته در پنهان‌نگاری با کمک روندنمای شکل (۲) نمایش داده شده است. در مرحله بعد تصویر پنهان‌نگاری شده با چندین حمله روبه‌رو شده و اطلاعات مخفی‌شده از این تصاویر بازایی می‌شود. تابع هدف برای هر تصویر محاسبه و سپس تصویری با بهترین تابع تناسب برای نسل بعدی انتخاب می‌شود. این روند تا ارضای معیار خاتمه الگوریتم ادامه می‌یابد.

<sup>2</sup> Genetic Algorithm

<sup>3</sup> Replacement

<sup>1</sup> Cuckoo search Algorithm



با استفاده از الگوریتم SA یک جواب همسایه  $k$  برای مسأله تولید می‌شود. مقدار دلتا و PSNR برای این جواب محاسبه می‌شود. در صورتی که دلتا بزرگ‌تر از صفر باشد،  $k$  به‌عنوان جواب اولیه در نظر گرفته می‌شود؛ در غیر این صورت  $k$  با احتمال  $e^{-\Delta/T}$  به‌عنوان پاسخ فعلی انتخاب می‌شود. دمای جدید تنظیم می‌شود و در صورتی که مقدار  $T$  صفر نباشد یا تعداد تکرارها از بیشینه تکرارها بیشتر نباشد، دوباره یک جواب همسایه برای این مسأله در نظر گرفته می‌شود.

مراحل اعمال الگوریتم SA بر روی مسأله پنهان‌نگاری تصاویر به‌صورت زیر خواهد بود:

مرحله نخست: مقداردهی اولیه برای پاسخ ابتدایی  $S$  و همچنین بهترین راه حل یافت (bestsol) برای SA الگوریتم انجام و همچنین یک مقدار اولیه برای دمای  $T$  در نظر گرفته شود.

مرحله دوم: یک جواب همسایه  $S'$  تولید و ارزش  $\Delta$  و PSNR آن محاسبه خواهد شد. اگر  $\Delta < 0$  باشد، آنگاه  $S'$  به‌عنوان پاسخ فعلی انتخاب شده و اگر PSNR آن از bestsol بزرگتر باشد، bestsol الگوریتم با مقدار جدید به‌روزرسانی خواهد شد. در غیر این صورت الگوریتم به مرحله بعدی حرکت می‌کند.

مرحله سوم: یک عدد تصادفی با توزیع یکنواخت بین  $[0, 1]$  تولید می‌شود و در پارامتر  $r$  قرار می‌گیرد. اگر  $r > e^{-\Delta/T}$  باشد،  $S'$  به‌عنوان پاسخ فعلی معرفی خواهد شد. مرحله چهارم: درجه حرارت جدید محاسبه شده و در پارامتر  $T$  مقداردهی می‌شود.

مرحله پنجم: اگر  $T \neq 0$  یا تکرار تعداد تکرار کمتر از بیشینه تکرارها باشد، به مرحله دوم رفته و در غیر این صورت الگوریتم متوقف و bestsol به‌دست‌آمده به‌عنوان جواب معرفی خواهد شد.

### ۷-۳- الگوریتم بهینه‌سازی حرکت ذرات (PSO<sup>5</sup>) در پنهان‌نگاری تصاویر

در الگوریتم حرکت ذرات، هر ذره  $p$  با  $2k$  بعد به‌صورت  $p = p_0 p_1 \dots p_{2k-1}$  نمایش داده می‌شود. که در آن  $p_0$  مکان عدد یک در سطر صفرم ماتریس جایگزینی،  $p_1$  مکان عدد یک در سطر نخست ماتریس جایگزینی و ... است. [28] یک ماتریس جایگزینی متناسب با ذره  $p$  در شکل (۳) به‌صورت نمونه مشاهده می‌شود. هر ذره با یک ماتریس جانشینی

<sup>5</sup> Particle swarm optimization

۲. انتخاب و ترکیب نمونه‌های (آرایه) اولیه برای تولید نمونه جدید<sup>۱</sup>. در مرحله تولید نمونه جدید از ترکیب تصادفی دو پدر برای تولید فرزند جدید استفاده می‌شود. در صورتی که فرزندهای تولیدشده حاوی ژن‌های تکرار شده باشند، این ژن‌ها با مقادیر ژن‌هایی که مورد استفاده قرار نگرفته‌اند، جایگزین می‌شوند. کل مرحله تولید نمونه جدید در یک تکرار ده تایی با ترکیب ده زوج تصادفی انتخاب شده انجام می‌شود.

۳. تغییر نمونه‌های فعلی و ساخت نمونه جدید که هدف اصلی آن جلوگیری از بهینه محلی است. چون در مرحله تولید نمونه جدید ممکن است از نمونه‌های مشابه برای ترکیب استفاده شده باشد.

۴. انتخاب نمونه با بهترین مقدار تناسب<sup>۲</sup> در بین نمونه‌های تولیدشده در این نسل برای تولید نسل بعدی نمونه‌ها تا زمانی که شرط خاتمه ارضا شود. مقدار تناسب با اندازه‌گیری معیارهایی از قبیل PSNR انجام می‌شود.

برای بهبود کیفیت تصویر تولیدشده از روش بهبود پیونددهی مجدد مسیر<sup>۳</sup> استفاده شده است. روش کار با انتخاب دو راه‌حل از بین فهرست راه‌کارهای موجود انتخاب شده است. در مخفی‌سازی تصاویر از این روش می‌توان بدین صورت استفاده کرد که پس از هر اجرای الگوریتم ژنتیک که تعداد ده تا از بهترین آرایه‌ها انتخاب می‌شوند و به‌طور تصادفی در گروه‌های دوتایی تقسیم می‌شوند، در هر گروه یکی از نمونه‌ها نقطه شروع و دیگری راهنما باشد. این روش پس از هر اجرای الگوریتم ژنتیک تعداد ده تا از بهترین آرایه‌ها را انتخاب کرده و به‌طور تصادفی در گروه‌های دوتایی تقسیم می‌شوند، در هر گروه یکی از نمونه‌ها نقطه شروع و دیگری راهنما باشد.

### ۶-۳- الگوریتم تبرید شبیه‌سازی شده (SA<sup>۴</sup>) در پنهان‌نگاری تصاویر

در حل مسأله رمزنگاری تصاویر می‌توان بدین صورت عمل کرد که  $n$  جمعیت مطلوب نهایی را در این الگوریتم به‌عنوان پاسخ اولیه  $S$  برای الگوریتم SA در نظر گرفت. همچنین یک مقدار اولیه برای دما در نظر گرفته خواهد شد. در مرحله بعد

<sup>1</sup> Crossover

<sup>2</sup> fitness

<sup>3</sup> PATH RELINKING REFINEMENT

<sup>4</sup> Simulated Annealing

- تعبیه‌سازی متن در تصویر انجام شود.
- اعمال حمله شناسایی اطلاعات پنهان‌نگاری شده از مجموع T حمله انتخاب‌شده به تصویر پنهان‌نگاری شده. این امر منجر به T تصاویر پنهان‌نگاری حمله‌شده متفاوت برای هر تصویر پنهان‌نگاری شده اصلی می‌شود.
- استخراج داده‌های پنهان‌نگاری شده از تصاویر مورد حمله واقع‌شده با استفاده از فرایند استخراج.
- محاسبه تابع برازش PSNR برای هر تصویر و مقداردهی به تابع برازش مربوط به هر کرم شب‌تاب مرحله سوم: به‌روزرسانی مکان هر کرم شب‌تاب با استفاده از تابع برازش به‌دست‌آمده.
- مرحله چهارم: تکرار مرحله‌های دوم و سوم تا دستیابی به بیشینه تعداد حلقه‌ها.

#### ۴- پیاده‌سازی روش پیشنهادی

در این پژوهش از تصاویر رنگی JPEG استاندارد در حوزه پردازش تصویر که دارای طیف رنگی غنی (هر سه پایه RGB) هستند، استفاده شده است. از میان تصاویر استاندارد به‌کار رفته در مقاله‌های پنهان‌نگاری از جمله منابع [25] و [26] تصاویر شکل (۴) جهت اعمال الگوریتم‌ها و ارزیابی انتخاب شده‌اند.

شبیه‌سازی‌ها در محیطی با پردازنده Intel® Core™ i7 CPU @2.3 GHz و با حافظه RAM ۶ گیگابایت اجرا شده و سیستم عامل مورد استفاده Windows 7 Ultimate 64Bit است.



(الف) بافون (ب) لنا (ج) فلفل

(شکل-۴): تصاویر استفاده شده در این پژوهش  
(Figure-4): Images used in this research

#### ۴-۱- اعمال الگوریتم‌های فراابتکاری به صورت جداگانه

در این بخش پارامترها و نتایج اعمال الگوریتم‌های فراابتکاری به صورت جداگانه شرح داده شده است.

همسان است؛ بنابراین، هر ذره با بهترین مقدار تابع تناسب به ماتریس جانشینی که می‌تواند تصویر پنهان‌نگاری شده را تولید کند، برابر است. هر ذره p باید یک بردار از اعداد صحیح در محدوده صفر تا 2K-1 باشد.

$$\begin{bmatrix} 1 & 0 & 0 & 0 \\ 0 & 1 & 0 & 0 \\ 0 & 0 & 0 & 1 \\ 0 & 0 & 1 & 0 \end{bmatrix} \\ \{0 \ 1 \ 3 \ 2\}$$

(شکل-۳): نگاشت ذره p باید یک بردار از اعداد صحیح در

محدوده ۰ تا 2K-1 باشد

(Figure-3): The particle mapping p must be a vector of integers in the range 0 to 2K-1

شرح نحوه جستجو یک ماتریس جایگزینی از طریق الگوریتم PSO به صورت زیر خواهد بود:

مرحله ۱: مقدار دهی اولیه. به طور تصادفی K ذره اولیه تولید می‌شود. به هر ذره سرعت تصادفی  $V_i$  منتسب می‌شود. محاسبه PSNR برای هر ذره انجام شده و gbest را با مکان بهترین ذره که حاوی بالاترین مقدار PSNR است، مقداردهی می‌کنیم. در ادامه الگوریتم برای هر ذره داریم:

مرحله ۲: به‌روزرسانی سرعت و موقعیت هر یک از ذرات با استفاده از معادلات معرفی شده در فصل دوم.

مرحله ۳: محاسبه نتیجه نگاشت ذره i ام و سپس استنتاج PSNR مربوطه و بررسی اینکه این PSNR از مقدار مربوط به gbest بیشتر است یا خیر. در صورت بزرگ‌تر بودن، مقدار gbest با مکان ذره نام به‌روزرسانی می‌شود.

مرحله ۴: اگر تعداد تکرارها از بیشینه تعداد تکرارها کوچک‌تر است، به مرحله دوم رفته و در غیر این صورت الگوریتم خاتمه یافته و بهترین خروجی را به عنوان نتیجه نهایی معرفی می‌کند.

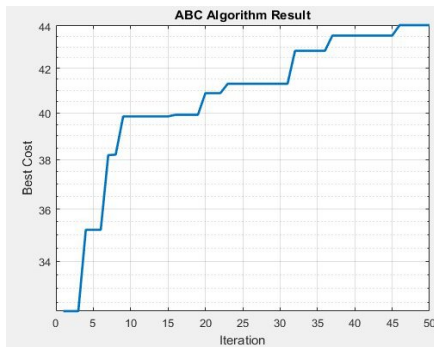
#### ۳-۸- الگوریتم کرم شب‌تاب (Firefly) در پنهان‌نگاری تصاویر

مراحل اعمال الگوریتم کرم شب‌تاب در مسأله پنهان‌نگاری تصاویر به قرار زیر است:

مرحله نخست: مقداردهی اولیه  $n$  کرم شب‌تاب به صورت تصادفی که در آن هر کرم شب‌تاب یک ردیف از ماتریس به اندازه  $m \times m$  است. اندازه این ماتریس به اندازه محتوای مد نظر برای پنهان‌نگاری است.

مرحله دوم: برای هر کرم شب‌تاب i از جمعیت کرم‌های شب‌تاب داریم:





(شکل-۶): نمودار افزایش مقدار PSNR در تکرارهای مختلف اجرای الگوریتم بهینه‌سازی زنبور عسل در تصویر لنا (Figure-6): Diagram of PSNR increment in different repetitions of the Bee algorithm in the Lena image

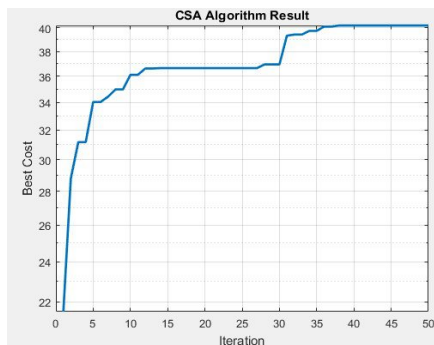
(جدول-۳): پارامترهای مورد استفاده در الگوریتم بهینه‌سازی زنبور عسل

(Table-3): Parameters used in the bee optimization algorithm

پارامتر	توصیف	مقدار
n	تعداد زنبورهای ناظر	20
m	تعداد مکان‌های انتخاب شده از مکان‌های بازدید شده	10
e	تعداد بهترین مکان‌ها از مکان‌های انتخاب شده	5
nep	تعداد زنبورهای تازه نفس برای بهترین مکان‌ها	6
t	تعداد زنبورهای استخدام شده برای سایر نقاط	4
loop	تعداد تکرار	50

### ۴-۱-۳ اعمال الگوریتم فرا ابتکاری جستجوی فاخته

شکل (۷) نحوه تغییر مقدار PSNR در اعمال الگوریتم فرا ابتکاری جستجوی فاخته را بر روی تصویر لنا نشان می‌دهد.



(شکل-۷): نمودار افزایش مقدار PSNR در تکرارهای مختلف اجرای الگوریتم بهینه‌سازی جستجوی فاخته در تصویر لنا (Figure-7): Diagram of PSNR increment in different repetitions of the Cuckoo search optimization algorithm in the Lena image

از آنجا که مسأله مورد بررسی، مسأله پیچیده‌ای است و به احتمال نقاط بهینه محلی و عموم متعددی داشته باشد و

### ۴-۱-۱ اعمال الگوریتم بهینه‌سازی کلونی مورچه

جدول (۲) نشان‌دهنده نحوه تنظیم پارامترها در الگوریتم بهینه‌سازی کلونی مورچه است که مورد استفاده قرار گرفته است.

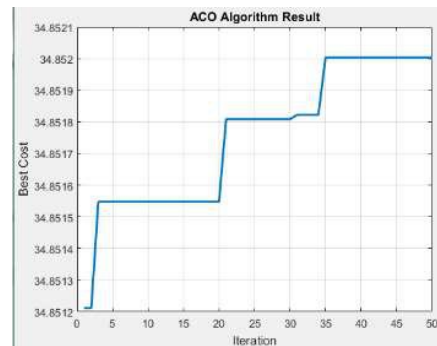
(جدول-۲): پارامترهای مورد استفاده در الگوریتم بهینه‌سازی

کلونی مورچه

(Table-2): Parameters used in ant colony optimization algorithm

پارامتر	توصیف	مقدار
m	تعداد کل مورچه‌ها	6
$\tau_0$	مقدار اولیه فرومون	0.5
$\tau$	غلظت فرومون	2
$\alpha$	وزن غلظت فرومون	1
$\beta$	ارزش تجربه	1
$\eta$	ارزش تجربه	0.7
T	تعداد سفرهای بازگشت	21
$\rho$	پارامتر از تبخیر فرومون	0.7
Q0	پارامتر عدد تصادفی	0.2
loop	تعداد تکرار	50

در شکل (۵) نتایج حاصل از اعمال روش ACO بر روی تصویر لنا قابل مشاهده است. همچنین طبق نتایج به دست آمده در جدول (۹)، در مقایسه روش ACO و LSB، کیفیت تصویر تا حد زیادی توسط روش پیشنهادی بهبود یافته است؛ بنابراین، می‌توان نتیجه گرفت که الگوریتم ACO قادر به پیدا کردن یک ماتریس جانشینی خوب مؤثر است.



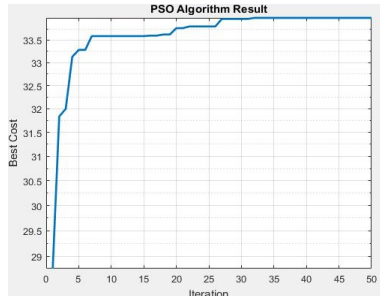
(شکل-۵): نمودار افزایش مقدار PSNR در تکرارهای مختلف اجرای الگوریتم ACO در تصویر لنا

(Figure-5): Diagram of PSNR increment in different repetitions of the ACO algorithm in the Lena image

### ۴-۱-۲ اعمال الگوریتم فرا ابتکاری زنبور عسل

شکل (۶) نحوه تغییر مقدار PSNR را در اعمال الگوریتم بهینه‌سازی زنبور بر روی تصویر لنا نشان می‌دهد. نتایج تکمیلی در جدول (۹) آمده است. پارامترهای این الگوریتم طبق جدول (۳) تنظیم شده‌اند.

۵-۱-۴- اعمال الگوریتم فراابتکاری حرکت ذرات  
 شکل (۹) نحوه تغییر مقدار PSNR در اعمال الگوریتم  
 فراابتکاری حرکت ذرات را بر روی تصویر لنا نشان می‌دهد.  
 پارامترهای مورد استفاده در الگوریتم بهینه‌سازی حرکت  
 ذرات در جدول (۶) نمایش داده شده است.



(شکل-۹): نمودار افزایش مقدار PSNR در تکرارهای مختلف  
 اجرای الگوریتم بهینه‌سازی حرکت ذرات در تصویر لنا  
 (Figure-9): Diagram of PSNR increment in different repetitions  
 of the Particle Swarm optimization algorithm  
 in the Lena image

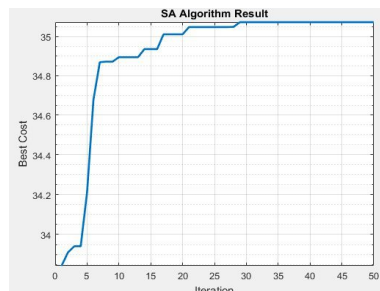
(جدول-۶): پارامترهای مورد استفاده در الگوریتم بهینه‌سازی  
 حرکت ذرات

(Table-6): Parameters used in the Particle Swarm  
 Optimization algorithm

مقدار	توصیف	پارامتر
1	تعداد پارامترهای تصمیم‌گیری	nVar
1000	ماکزیمم تعداد حلقه‌ها	MaxIt
1	وزن اولیه	w
0.99	ضریب تغییر وزن	wdamp
1.5	نرخ یادگیری شخصی	c1
2	نرخ یادگیری عمومی	c2
[-4, 4]	سرعت کمینه و بیشینه	[Vmin, Vmax]

۶-۱-۴- اعمال الگوریتم فراابتکاری تبرید  
 شبیه‌سازی شده

شکل (۱۰) نحوه تغییر مقدار PSNR در اعمال الگوریتم  
 فراابتکاری تبرید شبیه‌سازی شده را بر روی تصویر لنا نشان  
 می‌دهد.



(شکل-۱۰): نمودار افزایش PSNR در تکرارهای مختلف اجرای  
 الگوریتم تبرید شبیه‌سازی شده در تصویر لنا  
 (Figure-10): Diagram of PSNR increment in different  
 repetitions of the Simulated Annealing algorithm  
 in the Lena image

با توجه به مطالبی که بیان شد، تعداد لانه‌های الگوریتم‌های  
 پیاده‌سازی ۷۵ لانه در نظر گرفته شده است. مقدار پارامتر  $\beta$   
 که برای محاسبه اندازه گام‌های تصادفی لوی برابر  $1/5$  فرض  
 شده است. بیشینه تعداد تکرارها به پنجاه تکرار است.  
 پارامترهای این الگوریتم طبق جدول (۴) تنظیم شده‌اند.

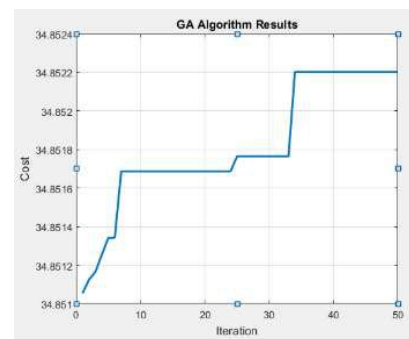
(جدول-۴): پارامترهای مورد استفاده در الگوریتم بهینه‌سازی

#### جستجوی فاخته

(Table-4): Parameters used in Cuckoo Search  
 Optimization Algorithm

مقدار	توصیف	پارامتر
1	احتمال شناسایی تخم‌های فاخته	Pa
0.25	انتقال لانه به مکان جدید	a
75	تعداد لانه‌ها	n
1.5	اندازه گام‌های تصادفی	$\beta$
50	تعداد تکرار	loop

۴-۱-۴- اعمال الگوریتم فراابتکاری ژنتیک  
 شکل (۸) نحوه تغییر مقدار PSNR را در اعمال الگوریتم  
 فراابتکاری ژنتیک را بر روی تصویر لنا نشان می‌دهد.



(شکل-۸): نمودار افزایش PSNR در تکرارهای مختلف اجرای  
 الگوریتم بهینه‌سازی ژنتیک در تصویر لنا  
 (Figure-8): Diagram of PSNR increment in different repetitions  
 of the Genetic algorithm in the Lena image

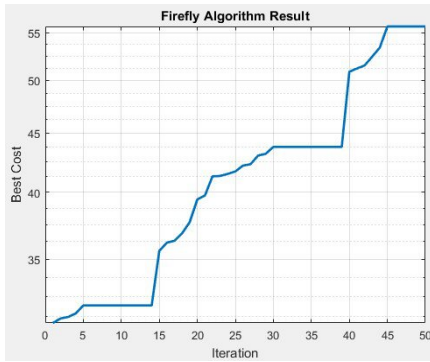
پارامترهای تنظیم شده در اجرای الگوریتم مذکور، در جدول  
 (۵) درج گردیده است.

(جدول-۵): پارامترهای مورد استفاده در الگوریتم ژنتیک

(Table-5): Parameters Used in the Genetic Algorithm

مقدار	توصیف	پارامتر
100	اندازه جمعیت	nPop
1000	تعداد نسل‌ها	n_gen
(مقدار اولیه) 10	بردار وزن	$\lambda$
0.8	درصد تقاطع یا CrossOver	rp
0.5	درصد جهش یا Mutation	mu

بهینه به دست می‌آید. پارامترهای این الگوریتم طبق جدول (۸) تنظیم شده‌اند.



(شکل-۱۱): نمودار افزایش PSNR در تکرارهای مختلف اجرای

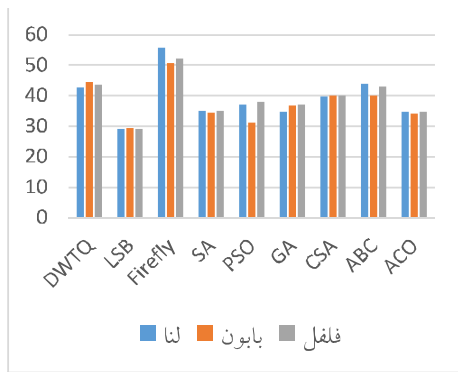
الگوریتم کرم شب‌تاب در تصویر لنا

(Figure-11): Diagram of PSNR increment in different repetitions of the Firefly algorithm in the Lena image

#### ۴-۲- شناسایی الگوریتم‌های برتر

در این مرحله پس از پیاده‌سازی تمامی روش‌های ابتکاری به‌کاررفته در حوزه پنهان‌نگاری تصاویر، لازم است تا از میان هفت الگوریتم پیاده‌سازی‌شده، سه الگوریتمی را که نتایج بهتری را بر روی داده‌ها نشان داده‌اند، برای مرحله بعدی شبیه‌سازی‌ها شناسایی کنیم. نتایج به دست آمده از مقایسه PSNR بر روی تصاویر مختلف در الگوریتم‌های مورد بررسی در این مقاله در جدول (۹) نمایش داده شده است.

نمودار شکل (۱۲) به مقایسه PSNR به دست آمده از اجرای این الگوریتم‌ها می‌پردازد.



(شکل-۱۲): مقایسه PSNR به دست آمده از اعمال

الگوریتم‌های ابتکاری

(Figure 12): Compar the PSNR obtained by applying the heuristic algorithms

همان‌طور که در این تصویر نشان داده شده است، الگوریتم کرم شب‌تاب بهترین نتیجه را در میان تمامی الگوریتم‌ها داشته است. به‌منظور شناسایی بهتر الگوریتم‌های

جدول (۷) پارامترهای به‌کاررفته در الگوریتم تبرید شبیه‌سازی‌شده را نشان می‌دهد. نتایج نشان می‌دهد که روش پیشنهادی می‌تواند در بهبود کیفیت تصویر مؤثر باشد.

(جدول-۷): پارامترهای مورد استفاده در الگوریتم تبرید

شبیه‌سازی‌شده

(Table-7): Parameters used in Simulated Annealing algorithm

مقدار	توصیف	پارامتر
100	اندازه جمعیت	nPop
4	تعداد پارامترهای تصمیم‌گیری	nVar
50	ماکزیمم تعداد حلقه‌ها	MaxIt
2	ماکزیمم تعداد حلقه‌ها به ازای هر دما	MIPTemp
2	تعداد همسایه‌های تولید شده در هر تکرار	nMove
0	دمای اولیه	T0
0.9	ضریب تغییر دما	RRT
100	تعداد تکرار	loop

#### ۷-۱-۴- اعمال الگوریتم فراابتکاری کرم شب‌تاب

در این مرحله به اجرای الگوریتم کرم شب‌تاب در مسأله پنهان‌نگاری تصاویر می‌پردازیم. نحوه کار بدین صورت است که پس از تولید جمعیت اولیه، پارامترهای اولیه  $\alpha$  و  $\beta$  را که در جدول (۸) به تفسیر آمده است، مقداردهی می‌کنیم.

(جدول-۸): پارامترهای مورد استفاده در الگوریتم کرم شب‌تاب

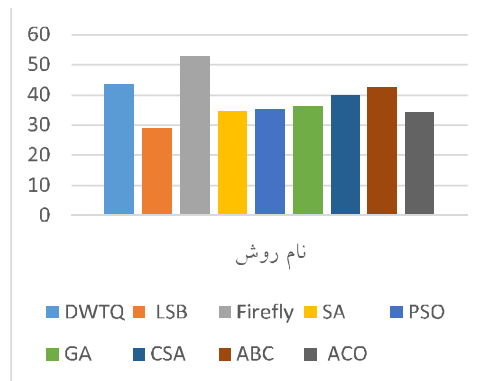
(Table -8): Parameters used in the firefly algorithm

مقدار	توصیف	پارامتر
100	اندازه جمعیت (تعداد پارامترهای درخواست)	n
50	بیشینه تعداد حلقه‌ها	MaxIt
0.5	پارامتر تصادفی سازی	$\alpha$
0.2	میزان جذابیت	$\beta$
	فاصله بین دو کرم $i$ و $j$	$r_{ij}$
	تغییرات شدت نور	$I$
1	ضریب جذب نور	$\lambda$

هدف ما در این الگوریتم بهینه‌کردن مقدار PSNR در پنهان‌نگاری تصاویر است. شکل (۱۱) نحوه تغییر مقدار PSNR در اعمال الگوریتم فراابتکاری کرم شب‌تاب را بر روی تصویر لنا نشان می‌دهد.

تا زمانی که تعداد تکرارها از حد آستانه کمتر است، برای تمامی جمعیت کرم شب‌تاب، جمعیت به سمت کرم شب‌تاب با مقدار PSNR بهتر حرکت خواهد کرد. جذابیت هر کرم شب‌تاب به‌صورت معکوس با افزایش میزان فاصله کاهش خواهد یافت؛ بنابراین بر اساس مقادیر جدید برای مکان قرارگیری کرم‌ها، توابع هدف برای جمعیت موجود به‌روزرسانی می‌شود. در انتهای هر حلقه، تمامی کرم‌های شب‌تاب بر اساس تابع هدف PSNR مرتب شده و پاسخ

تأثیرگذار، میانگین PSNR به دست آمده بر روی همه تصاویر فلفل، بایون و لنا در شکل (۱۳) آمده است.



(شکل-۱۳): مقایسه میانگین مقدار PSNR بر روی

هر سه تصویر مورد بررسی

(Figure-13): Comparison of the mean value of the PSNR on all three images

طبق نتایج به دست آمده، سه الگوریتم برتر عبارتند از الگوریتم کرم شب تاب، الگوریتم فراابتکاری زنبور عسل و الگوریتم فرا ابتکاری جستجوی فاخته.

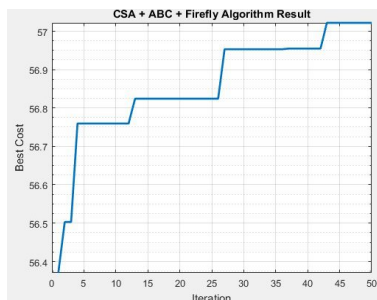
### ۳-۴- ترکیب نتایج الگوریتم های بهینه

تا اینجا به انتخاب سه الگوریتمی پرداخته شد که دارای بالاترین مقدار PSNR و تابع هدف تعریف شده هستند. این سه الگوریتم عبارتند از الگوریتم کرم شب تاب، الگوریتم فراابتکاری زنبور عسل و الگوریتم فرا ابتکاری جستجوی فاخته. از آنجایی که از میان روش های اعمال شده، الگوریتم کرم شب تاب بهترین نتیجه را داشته است، زین پس برای مقایسه نتایج به دست آمده از نتایج الگوریتم کرم شب تاب استفاده می کنیم.

(جدول-۹): نتایج به دست آمده از مقایسه PSNR بر روی تصاویر مختلف در الگوریتم های مورد بررسی در این مقاله

(Table -9): Results obtained from comparison of PSNR on different images in the algorithms studied in this paper.

نام تصویر	ACO	ABC	CSA	GA	PSO	Firefly	SA
لنا	34.58	44.020	39.68	$\lambda=10$	34.851	37.06	55.72
				$\lambda=30$	34.19		
بایون	34.25	40.0256	40.15	$\lambda=10$	36.92	31.28	50.76
				$\lambda=30$	36.01		
فلفل	34.55	43.022	40.01	$\lambda=10$	37.21	38.02	52.159
				$\lambda=30$	36.74		
میانگین	34.46	42.35	39.94	-	35.98	35.45	52.87



(شکل-۱۵): اعمال الگوریتم جستجوی فاخته بر روی نتایج

به دست آمده الگوریتم زنبور عسل

(Figure-15): Applying the Cuckoo Search Algorithm to the Results of the Bee Algorithm

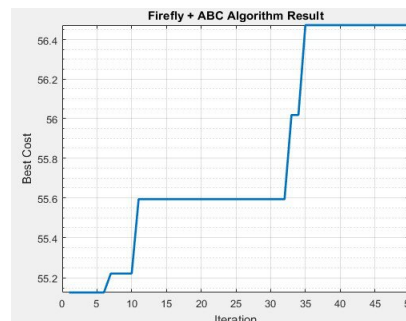
### • ترکیب شماره ۲: کرم شب تاب، جستجوی فاخته، زنبور عسل

طبق ترتیب گفته شده، که در ابتدا الگوریتم کرم شب تاب اعمال و در مرحله بعدی به ترتیب الگوریتم های جستجوی فاخته و زنبور عسل اعمال می شوند.

در شکل های (۱۶) و (۱۷) نحوه تأثیرگذاری دو الگوریتم ابتکاری دیگر بر روی مسأله پنهان نگاری تصویر نشان داده شده است.

### ترکیب شماره ۱: کرم شب تاب، زنبور عسل، جستجوی فاخته

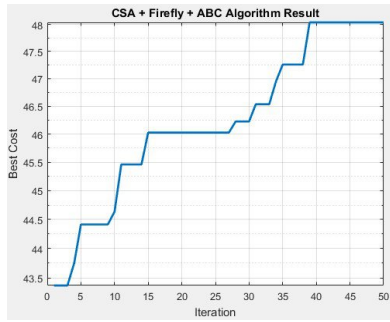
طبق ترتیب گفته شده، در ابتدا الگوریتم کرم شب تاب اعمال و در مرحله بعدی به ترتیب الگوریتم های زنبور عسل و جستجوی فاخته اعمال می شوند. در شکل های (۱۴) و (۱۵) تأثیرگذاری دو الگوریتم ابتکاری دیگر بر روی مسأله پنهان نگاری تصویر نشان داده شده است.



(شکل-۱۴): اعمال الگوریتم زنبور عسل بر روی نتایج

به دست آمده الگوریتم کرم شب تاب

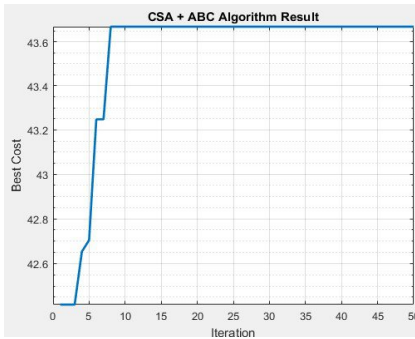
(Figure-14): Applying the Bee Algorithm on the Results of the Firefly Algorithm



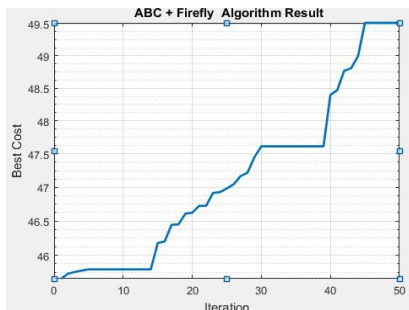
(شکل-۱۹): اعمال الگوریتم زنبور عسل بر روی نتایج به‌دست آمده الگوریتم کرم شب‌تاب و جستجوی فاخته در تصویر لنا (Figure-19): Applying the Bee Algorithm on the Results of the Firefly Algorithm and Cuckoo Search in the Lena Image

• ترکیب شماره ۴: جستجوی فاخته، زنبور عسل، کرم شب‌تاب

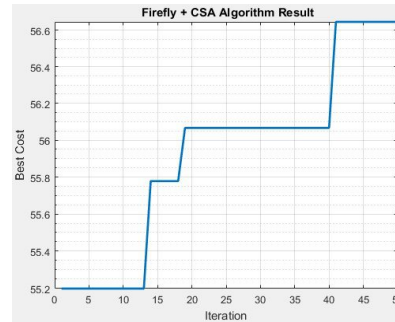
طبق ترتیب گفته‌شده، که در ابتدا الگوریتم جستجوی فاخته اعمال و در مرحله بعدی به ترتیب الگوریتم‌های زنبور عسل و کرم شب‌تاب اعمال می‌شوند. در شکل‌های (۲۰) و (۲۱) نحوه تأثیرگذاری دو الگوریتم ابتکاری دیگر بر روی مسأله پنهان‌نگاری تصویر نشان داده شده است.



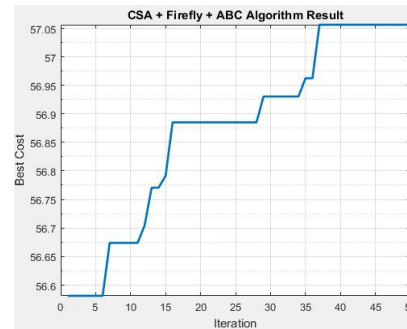
(شکل-۲۰): اعمال الگوریتم زنبور عسل بر روی نتایج به‌دست آمده الگوریتم جستجوی فاخته در تصویر لنا (Figure-20): Applying the Bee Algorithm on the Results of the Cuckoo Search Algorithm in the Lena Image



(شکل-۲۱): اعمال الگوریتم کرم شب‌تاب بر روی نتایج به‌دست آمده الگوریتم زنبور عسل در تصویر لنا (Figure-21): Applying the firefly algorithm on the results obtained from the bee algorithm in the Lena image



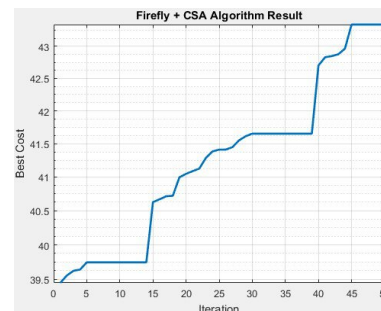
(شکل-۱۶): اعمال الگوریتم جستجوی فاخته بر روی نتایج به‌دست آمده الگوریتم کرم شب‌تاب (Figure-16): Applying the Cuckoo Search Algorithm to the Results of the Firefly Algorithm



(شکل-۱۷): اعمال الگوریتم زنبور عسل بر روی نتایج به‌دست آمده الگوریتم جستجوی فاخته (Figure-17): Applying the Bee Algorithm on the Results of the Cuckoo Search Algorithm

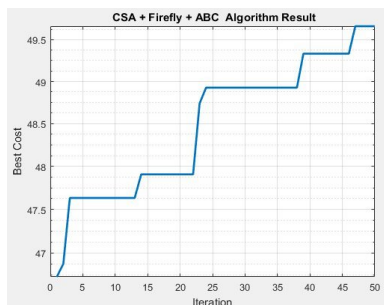
• ترکیب شماره ۳: جستجوی فاخته، کرم شب‌تاب، زنبور عسل

طبق ترتیب گفته‌شده، در ابتدا الگوریتم جستجوی فاخته اعمال و در مرحله بعدی به ترتیب الگوریتم‌های کرم شب‌تاب و زنبور عسل اعمال می‌شوند. در شکل‌های (۱۸) و (۱۹) نحوه تأثیرگذاری دو الگوریتم ابتکاری دیگر بر روی مسأله پنهان‌نگاری تصویر نشان داده شده است.



(شکل-۱۸): اعمال الگوریتم کرم شب‌تاب بر روی نتایج به‌دست آمده الگوریتم جستجوی فاخته (Figure-18): Applying the firefly algorithm on the results obtained from the Cuckoo search algorithm





(شکل-۲۵): اعمال الگوریتم فاخته بر روی نتایج به دست آمده

الگوریتم کرم شب تاب در تصویر لنا

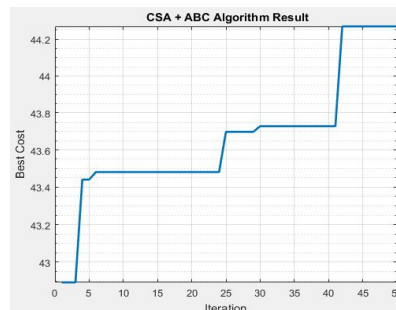
(Figure-25): Applying the Cuckoo Algorithm to the Results of the Firefly Algorithm in the Lena Image

- ترکیب شماره ۶: زنبور عسل، کرم شب تاب، جستجوی فاخته

طبق ترتیب گفته شده، که در ابتدا الگوریتم زنبور عسل اعمال و در مرحله بعدی به ترتیب الگوریتم های جستجوی فاخته و کرم شب تاب اعمال می شوند. در شکل های (۲۴) و (۲۵) نحوه تأثیر گذاری دو الگوریتم ابتکاری دیگر را بر روی مسأله پنهان نگاری تصویر نشان داده شده است.

ترکیب شماره ۵: زنبور عسل، جستجوی فاخته، کرم شب تاب

طبق ترتیب گفته شده، که در ابتدا الگوریتم زنبور عسل اعمال و در مرحله بعدی به ترتیب الگوریتم های جستجوی فاخته و کرم شب تاب اعمال می شوند. در شکل های (۲۲) و (۲۳) نحوه تأثیر گذاری دو الگوریتم ابتکاری دیگر بر روی مسأله پنهان نگاری تصویر نشان داده شده است.



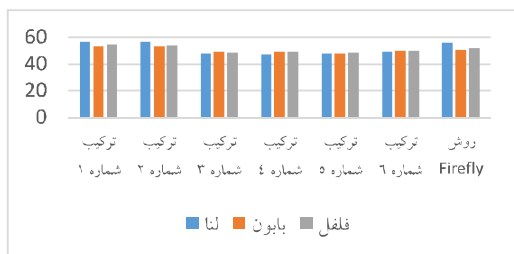
(شکل-۲۲): اعمال الگوریتم فاخته بر روی نتایج به دست آمده

الگوریتم زنبور عسل در تصویر لنا

(Figure-22): Applying the Cuckoo Algorithm to the Results of the Bee Algorithm in the Lena Image

## ۵- نتایج و ارزیابی

شکل (۲۶) به مقایسه مقدار PSNR به دست آمده از شش مرحله قبل بر روی تصاویر مختلف می پردازد.

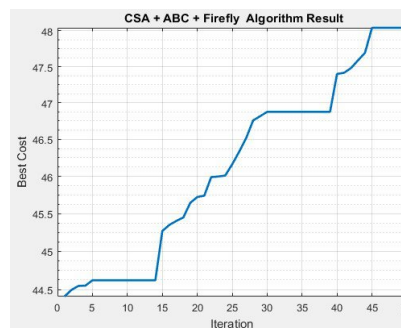


(شکل-۲۶): مقایسه مقدار PSNR در شش مرحله تعریف شده

(Figure-26): Compare the PSNR value in the six defined steps

شکل (۲۷) به مقایسه میانگین PSNR به دست آمده در ترکیب های مورد بررسی می پردازد. نتایج درج شده در جدول (۱۰)، نشان می دهد که ترکیب شماره یک که حاصل از ترکیب به ترتیب الگوریتم های کرم شب تاب، زنبور عسل و جستجوی فاخته است، بهترین نتایج را در رسیدن به هدف برنامه ایجاد می کنند که این ترکیب، میانگین نسبت سیگنال به نوفه برابر ۵۴/۸۹ را فراهم کرده است.

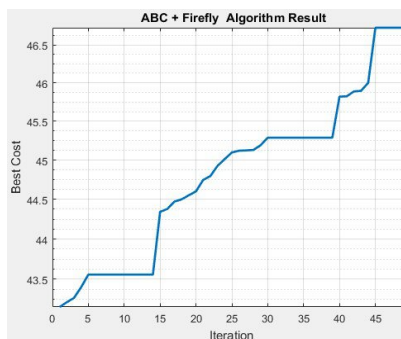
ترکیب یاد شده در مقایسه با الگوریتم های انفرادی بررسی شده بهینه سازی کلونی مورچه، زنبور عسل، جستجوی فاخته، ژنتیک، حرکت ذرات، تبرید شبیه سازی



(شکل-۲۳): اعمال الگوریتم کرم شب تاب بر روی نتایج

به دست آمده الگوریتم فاخته در تصویر لنا

(Figure-23): Applying the firefly algorithm on the results obtained from the Cuckoo algorithm in the Lena image



(شکل-۲۴): اعمال الگوریتم کرم شب تاب بر روی نتایج

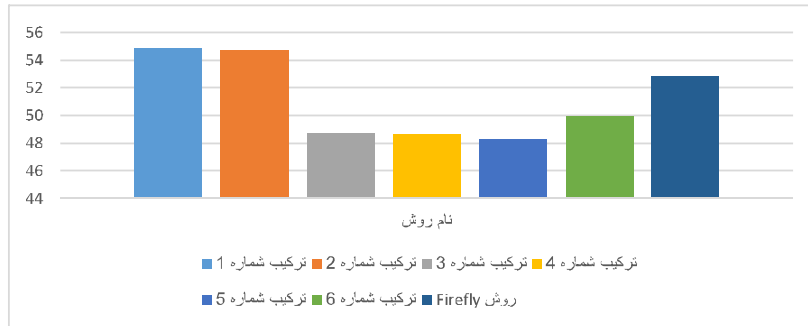
به دست آمده الگوریتم زنبور عسل در تصویر لنا

(Figure-24): Applying the firefly algorithm on the results obtained from the Bee algorithm Lena image



پژوهش‌های دیگر مقایسه شده است [32]، [33]، [34]، [35]، [36]. همان‌طور که مشاهده می‌شود، روش پیشنهادی در مقایسه با روش‌های یادشده، بیشترین میزان PSNR را حاصل کرده است.

شده، کرم شب‌تاب، به ترتیب به میزان ۵۹/۳۹، ۲۹/۶۱، ۳۷/۴۳، ۵۲/۵۶، ۵۴/۸۴، ۵۷/۸۲ درصد بهبود در مقدار PSNR را ارائه می‌کند. در جدول (۱۱)، مقدار PSNR پس از اعمال روش پیشنهادی و سایر روش‌های اعمال‌شده بر روی تصویر لنا در



(شکل-۲۷): مقایسه میانگین PSNR در روش‌های مورد بررسی  
(Figure-27): Comparison of the mean PSNR in the investigated methods

(جدول-۱۰): مقدار PSNR پس از اعمال ترکیب‌های مختلف بر روی تصاویر  
(Table-10): The amount of PSNR after applying different combinations on the images

نام تصویر	ترکیب شماره ۱	ترکیب شماره ۲	ترکیب شماره ۳	ترکیب شماره ۴	ترکیب شماره ۵	ترکیب شماره ۶	Firefly
لنا	57.12	57.02	48.03	49.5	48.01	49.6	55.72
بابون	53.04	53.1	49.3	49.18	48.1	50.18	50.76
فلنل	54.52	54.23	49.068	49.16	48.9	50.09	52.159
میانگین	54.89	54.78	48.80	49.28	48.34	49.96	52.88

(جدول-۱۱): مقایسه مقدار PSNR پس از اعمال روش‌های مختلف بر روی تصویر لنا در پژوهش‌های مختلف  
(Table-11): Compare the amount of PSNR after applying different methods to the Lena image in different research

الگوریتم‌های مختلف	روش پیشنهادی	Wang	Yang	Liao	Mehdi	Zhaotong
میزان PSNR پس از اعمال الگوریتم روی تصویر لنا	57.12	44.1	38.24	41.48	39.09	42.74

مختلف آن‌ها مورد بررسی قرار گرفت. سه الگوریتم انتخاب‌شده عبارت‌اند از الگوریتم کرم شب‌تاب، الگوریتم جستجوی فاخته و الگوریتم بهینه‌سازی زنبور عسل با میانگین PSNR به ترتیب ۵۲/۸۷، ۴۲/۳۵ و ۳۹/۹۴. نتایج نشان می‌دهد که ترکیب شماره یک که حاصل از ترکیب به ترتیب الگوریتم‌های کرم شب‌تاب، زنبور عسل و جستجوی فاخته است با مقدار PSNR برابر با ۵۴/۸۹ بهترین نتایج را در رسیدن به پاسخ بهینه در مقایسه با ترکیب‌های شماره ۲، ۳، ۴، ۵، ۶ با میانگین PSNR به ترتیب ۴۹/۸۰، ۵۴/۷۸، ۴۹/۲۸، ۴۸/۳۴ و ۴۹/۹۶ فراهم می‌کند.

## ۶- نتیجه‌گیری

در این مقاله یک روش مقاوم با درجه امنیتی بالا برای پنهان‌نگاری تصاویر ارائه شد. روش پیشنهادی در رمزنگاری تصاویر به‌منظور بهبود مقدار PSNR و دستیابی به ماتریس جایگزینی بهینه از الگوریتم‌های فرا-ابتکاری استفاده می‌کند. ابتدا الگوریتم‌های معروف فرا-ابتکاری در رمزنگاری تصاویر مورد استفاده قرار گرفته‌اند و به‌تنهایی بر روی داده‌های موجود اعمال شدند؛ پس از آن الگوریتم‌ها با توجه به بهترین PSNR به‌دست‌آمده مرتب شدند. سه الگوریتمی که بهترین مقدار PSNR را دارند، برای مرحله بعد انتخاب و ترکیب‌های

- [10] F. Sadeghi, M. K. Rafsanjani, and F. Z. Kermani, "Hiding Information in Image by Compound Meta-Heuristic Algorithm PSO-SA," *Int. J. Compute Sci. Artif. Intell.*, vol. 3, no. 4, p. 125, 2013.
- [11] K. Akshyata and I. Jain, "Data Hiding and Security using Steganography", *International Journal of Engineering and Management Research*, 2017.
- [12] E. T. Zghaer and S. H. Hashem, "Ant Colony Optimization To Enhance Image Steganography", *International Journal of Emerging Trends and Technology in Computer Science (IJETTCS)*, 2017.
- [13] A. Miri, K. Faez, "Adaptive image steganography based on transform domain via genetic algorithm", *Optik*, vol. 145, pp.158-168.
- [14] K. Loukhaoukha, J.-Y. Chouinard, and M. H. Taieb, "Optimal image watermarking algorithm based on LWT-SVD via multi-objective ant colony optimization," *J. Inf. Hiding Multimed. Signal Process.*, vol. 2, no. 4, pp. 303-319, 2011.
- [15] J. S. Lee, J.-W. Wang, and K.-Y. Giang, "A new image watermarking scheme using multi-objective bees algorithm," *Appl. Math. Inf. Sci.*, vol. 8, no. 6, p. 2945, 2014.
- [16] F. G. Mohammadi and M. S. Abadch, "Image steganalysis using a bee colony based feature selection algorithm," *Eng. Appl. Artif. Intell.*, vol. 31, pp. 35-43, 2014.
- [17] M. Ali and C. W. Ahn, "An optimal image watermarking approach through cuckoo search algorithm in wavelet domain," *Int. J. Syst. Assur. Eng. Manag.*, pp. 1-10, 2014.
- [18] Y. H. Chen and H. C. Huang, "Reversible Image Watermarking Based on Genetic Algorithm," in *Intelligent Information Hiding and Multimedia Signal Processing (IHI-MSP), 2014 Tenth International Conference on*, 2014, pp. 21-24.
- [19] a L. Brazil, a Sanchez, a Conci, and N. Behlilovic, "Hybridizing genetic algorithms and path relinking for steganography," *ELMAR 2011 Proc.*, no. September, pp. 285-288, 2011.
- [20] M. Nosrati, A. Hanani, and R. Karimi, "Steganography in Image Segments Using Genetic Algorithm," in *2015 Fifth International Conference on Advanced Computing Communication Technologies*, 2015, pp. 102-107.
- [21] B. Lei, F. Zhou, E.-L. Tan, D. Ni, H. Lei, S. Chen, and T. Wang, "Optimal and secure audio watermarking scheme based on self-adaptive particle swarm optimization and quaternion wavelet transform," *Signal Processing*, vol. 113, pp. 80-94, 2015.
- ترکیب گفته شده در مقایسه با الگوریتم های انفرادی بررسی شده بهینه سازی کلونی مورچه، زنبور عسل، جستجوی فاخته، ژنتیک، حرکت ذرات، تیرید شبیه سازی شده، کرم شبتاب، به ترتیب به میزان ۵۹/۲۹، ۲۹/۶۱، ۳۷/۴۳، ۵۲/۵۶، ۵۴/۸۴، ۵۷/۸۲ و ۳/۸۲ درصد بهبود در مقدار PSNR را ارائه می کند.

## 7- References

## ۷- مراجع

- ۱۱ شمع عزیزاده بایی محمدعلی، "بررسی الگوریتم های مخفی سازی پیام در نهان نگاری تصویر و طراحی الگوریتمی کارآمد"، مهندسی شناورهای تندرو، شماره ۵۲، صفحات ۴۲-۳۰، ۱۳۹۷.
- [1] M. SH. Alizadeh, "Evaluation of message hiding algorithms in image steganography and efficient algorithm design", *High Speed Craft*, Vol. 52, pp. 42-30, 2018.
- [2] X. Zhang, Z. Zhao, and J. Wang, "Chaotic image encryption based on circular substitution box and key stream buffer", *Signal Process. Image Commun.*, vol. 29, no. 8, pp. 902-913, 2014.
- [3] M. Hussain and M. Hussain, "A Survey of Image Steganography Techniques," vol. 54, pp. 113-124, 2013.
- [4] A. Benoraira, K. Benmahammed, and N. Boucenna, "Blind image watermarking technique based on differential embedding in DWT and DCT domains," *EURASIP J. Adv. Signal Process.*, vol. 2015, no. 1, pp. 1-11, 2015.
- [5] H. Tao, L. Chongmin, J. M. Zain, and A. N. Abdalla, "Robust image watermarking theories and techniques: A review," *J. Appl. Res. Technol.*, vol. 12, no. 1, pp. 122-138, 2014.
- [6] N. A. Abbas, "Image watermark detection techniques using quadrees," *Appl. Compute Informatics*, vol. 11, no. 2, pp. 102-115, 2015.
- [7] M. Keyvanpour and F. M. Bayat, "Blind image watermarking method based on chaotic key and dynamic coefficient quantization in the {DWT} domain," *Math. Compute. Model.*, vol. 58, no. 1-2, pp. 56-67, 2013.
- [8] Z. Xie and X. Wang, "A Heuristic Feature Combination Selection Method in Fusion Detection of JPEG Stegoimages," in *2012 Fourth International Conference on Multimedia Information Networking and Security*, 2012, pp. 220-224.
- [9] M. Kiamini, S. Fazli, "A High Performance Steganographic Method using JPEG and PSO Algorithm," *IEEE*, 2008.

- [34] X. Liao, QY. Wen, ZL. Zhao, "A novel steganographic method with four-pixel differencing and modulus function", *Fundam Informaticae*, Vol. 118, pp. 281-289, 2012.
- [35] M. Hussain, AWA. Wahab, ATS. Ho, "A data hiding scheme using parity-bit pixel value differencing and improved rightmost digit replacement", *Signal Process Image Commun*, Vol. 50, pp.44-57, 2017.
- [36] Li. Zhaotong, He.Ying, "Steganography with pixel-value differencing and modulus function based on PSO", *Journal of Information Security and Applications*, vol. 43, pp. 47-52, 2018.
- [22] X. Li and J. Wang, "A steganographic method based upon {JPEG} and particle swarm optimization algorithm," *Inf. Sci. (Ny)*, vol. 177, no. 15, pp. 3099–3109, 2007.
- [23] G. S. Lin, Y. T. Chang, and W. N. Lie, "A Framework of Enhancing Image Steganography With Picture Quality Optimization and Anti-Steganalysis Based on Simulated Annealing Algorithm," *IEEE Trans. Multimed.*, vol. 12, no. 5, pp. 345–357, Aug. 2010.
- [24] A. Mishra, C. Agarwal, A. Sharma, and P. Bedi, "Optimized gray-scale image watermarking using DWT--SVD and Firefly Algorithm," *Expert Syst. Appl.*, vol. 41, no. 17, pp. 7858–7867, 2014.
- [25] A. Miri, K. Faez, "Adaptive image steganography based on transform domain via genetic algorithm", *Optik*, vol. 145, pp.158-168.
- [26] S. Hemalatha, U. D. Acharya, and A. Renuka, "Wavelet Transform Based Steganography Technique to Hide Audio Signals in Image," *Procedia Comput. Sci.*, vol. 47, pp. 272–281, 2015.
- [27] M. Nosrati, A. Hanani, and R. Karimi, "Steganography in Image Segments Using Genetic Algorithm," in *2015 Fifth International Conference on Advanced Computing Communication Technologies*, 2015, pp. 102–107.
- [28] Z. Li, Y. Hi, "Steganography with pixel-value differencing and modulus function based on PSO," *Information Security and Applications*, vol.43, pp. 47-52, 2018.
- [29] F. G. Mohammadi, H. Sajedi, "Region based Image Steganalysis using Artificial Bee Colony," *Visual Communication and Image Representation*, vol 14, pp. 214-226, 2017.
- [30] S.I. Nipanikar, V. H. Deepthi, N. Kulkarni, "A sparse representation based image steganography using Particle Swarm Optimization and wavelet transform," *Alexandria Engineering*, vol. 57, pp. 2343-2356, 2018.
- [31] A. Miri, k. Faez, "Adaptive image steganography based on transform domain via genetic algorithm," *Optik*, vol. 145, pp. 158-168, 2017.
- [32] CM.Wang, NI. Wu, CS. Tsai, "A high quality steganographic method with pixel-value differencing and modulus function", *J Syst Softw*, Vol. 81, pp.150-158, 2008.
- [33] CH. Yang, SJ. Wang, C. Weng, "Capacity-raising steganography using multi-pixel differencing and pixel-value shifting operations", *Fundam Informaticae*, Vol. 98, pp.321-336, 2010.

**لادن ریاضی** عضو هیأت علمی و استادیار



دانشگاه آزاد اسلامی، مدرک کارشناسی خود را در رشته مهندسی رایانه گرایش نرم‌افزار در سال ۱۳۷۹ و مدرک کارشناسی ارشد خود را در رشته مهندسی رایانه گرایش هوش مصنوعی و رباتیک در سال ۱۳۸۲ و مدرک دکترای خود را در رشته مدیریت فناوری اطلاعات گرایش کسب و کار هوشمند در سال ۱۳۹۸ از دانشگاه آزاد اسلامی دریافت کرده‌اند. زمینه‌های پژوهشی مورد علاقه ایشان پردازش تصویر، هوش تجاری، سامانه‌های اطلاعات مدیریتی و آموزش الکترونیکی است. نشانی رایانامه ایشان عبارت است از:

[l\\_riazi@iauec.ac.ir](mailto:l_riazi@iauec.ac.ir)

**علیرضا پورابراهیمی** عضو هیأت علمی و



استادیار دانشگاه آزاد اسلامی، در سال ۱۳۸۶ مدرک دکترای خود را در رشته مدیریت صنعتی از دانشگاه آزاد اسلامی دریافت کرده است. وی از سال ۱۳۷۴ تا کنون به امر تدریس در دانشگاه‌های کشور اشتغال داشته‌اند و دارای تألیفات و پژوهش‌های متعدد علمی بوده‌اند. زمینه‌های پژوهشی مورد علاقه ایشان امنیت، الگوریتم‌های فراابتکاری و داده‌کاوی است. نشانی رایانامه ایشان عبارت است از:

[poorebrahimi@gmail.com](mailto:poorebrahimi@gmail.com)

**محمود البرزی** عضو هیأت علمی و



دانشیار دانشگاه آزاد اسلامی، در سال ۱۳۷۵ مدرک دکترای خود را در رشته مهندسی رایانه از دانشگاه برونل انگلستان دریافت کرده است. موضوعات پژوهشی

مورد علاقه ایشان، هوش مصنوعی - شبکه‌های عصبی، شبیه‌سازی، روش‌های کمی و سامانه‌های اطلاعات مدیریت پیشرفته است.

نشانی رایانامه ایشان عبارت است از:

[mahmood\\_alborzi@yahoo.com](mailto:mahmood_alborzi@yahoo.com)



**رضا رادفر** عضو هیأت علمی و استاد

دانشگاه آزاد اسلامی، مدرک کارشناسی

خود را در سال ۱۳۷۵ در رشته مدیریت

صنعتی و کارشناسی ارشد خود را در سال

۱۳۷۸ در رشته مدیریت صنعتی گرایش

تولید و عملیات و دکترای خود را در سال ۱۳۸۳ در رشته

مدیریت صنعتی گرایش سامانه‌ها از دانشگاه آزاد اسلامی

دریافت کرده‌اند. موضوعات پژوهشی مورد علاقه ایشان

الگوریتم‌های ژنتیک، مدیریت فناوری و نوآوری، شبکه‌های

عصبی است.

نشانی رایانامه ایشان عبارت است از:

[r.radfar@srbiau.ac.ir](mailto:r.radfar@srbiau.ac.ir)